

SF₆ 상태에 따른 절연파괴전압 비교분석에 관한 연구

(The analysis & comparative method on the breakdown voltage in SF₆)

최은혁* · 윤대희 · 박광서 · 박원주 · 주재현 · 최상태 · 이광식

(Eun-Hyuck Choi · Dae-Hee Yoon · Kwang-Seo Park · Won-Coo Park · Jae-Hyun Joo · Sang-Tae Choi · Kwang-Sik Lee)

Abstract

In this paper the experiments of insulation characteristics by temperature change of SF₆ gas and insulation characteristics about liquid SF₆ in GIS(Gas Insulated Switchgear) were described.

From this result, at low temperature, the breakdown voltage was increased with a drop of temperature and an increase of the inner pressure in GIS. The ability of insulation in liquid SF₆ was higher than that of the highly pressurized SF₆ gas. A liquid SF₆ discharge characteristics was caused by bubble formed evaporation of liquid SF₆ and bubble when high voltage apply to electrode. Corona was happened to weak bubble and was proceed to new bubble breakdown.

1. 서 론

산업사회의 발달과 더불어 신뢰성 높은 양질의 전기에너지와 운전 및 보수의 간편화, 계통 운용의 신뢰성, 안전성 확보가 요구되고 있다. 이에따라 절연 특성이 매우 우수한 고압의 SF₆가스를 절연재료로 사용하는 변전기기의 사용이 증가되고 있는 실정이며, 국·내외에서 건설, 운전 중이다.

하지만, 현대사회가 첨단과학의 이기지를 갈망함에 따라 현재보다 더 많은 전력에너지를 필요함과 동시에 도시의 공간활용의 효율성 측면에서 전력기기들의 소형화 및 고 신뢰화가 시도되고 있다. 또한, 혹한 지역에 노출되어 SF₆를 사용하는 전력설비는 그 온도 저하에 따른 액화현상으로 방전특성이 큰 변화를 가지게 된다. 이러한 관점에서 현재 이용되고 있는 SF₆가스를 앞으로 다가올 초고압시대에 맞추어 연구 및 개발의 필요성이 있다고 사료된다.

또한 SF₆ 가스를 절연매체로 사용하고 있는 초고압 용의 설비에 주로 적용되는 GIS설비는 고전압상태에서 운전되므로 제작과정 및 운전상태에서 미세한 구조적 결함이나 이물질로 인해 기기의 오동작이나 절연파괴와 같은 사고발생시 파급효과도 크다. 이에 외부환경 및 여러 가지의 사고사항을 고려한 최적 절연설계를 통한 부분방전의 발생가능성을 최대한 줄이는 연구가 필요하며 진행되고 있다.

따라서, 본 논문에서는 냉매로서 뿐만 아니라 절연재료로서도 성능이 우수한 액화 SF₆ (LSF₆)와 기존에 극

저온 가스로 연구되고 있는 액화 질소의 기본적 절연파괴특성을 비교/분석하여 송배전 전력기기들의 소형화 및 신뢰도 분야 연구에 있어 기초적인 자료를 제공할 뿐만 아니라, SF₆가스 절연 전력설비의 설계에 있어 활용될 수 있을 것이다. 그리하여 LSF₆와 액화 N₂(LN₂) 하에서 전극의 종류와 캡에 따른 절연파괴 특성을 실험분석하였다.

2. 실험장치 및 방법

2.1. 실험장치

본 연구에 사용된 실험장치를 그림 1, 사진 1에 액화 SF₆와 LN₂의 방전 특성을 모의하기 위해 설계·제작한 챔버이다. 최대 인가전압은 부극성 DC 150[kV]이 가능한 전원(Pulse Electronic Eng. Tokyo ; HDV-300KIV-N)을 사용하였다. 모의 GIS장치 내부온도를 관측하기 위하여 온도센서(UNICON, -50[°C]~50[°C])를 GIS 내부 중심부에 전극부와 평행하게 전극 중심부와 약 8 [cm] 떨어진 곳에 설치하였다. 모의 실험용 GIS 내부 압력을 측정하기 위해 압력계(WISE, 0~15기압)를 설치하였다. 실험용 모의 GIS 내부를 진공펌프(SINKU KIKO Co.Ltd, GUD-050A, pumping speed 60 l/min)로 5×10⁻⁴[Torr]까지 진공을 만든 다음 SF₆ 가스를 주입하였다. 모의 GIS 내부에 설치된 온도센서와 전극부를 관측할 수 있는 관측창(직경 110[mm], 두께 20[mm])을 설치하였다. 이 관측창의 재질은 투

명 아크릴이며, 원통형으로 제작 설치하였다.

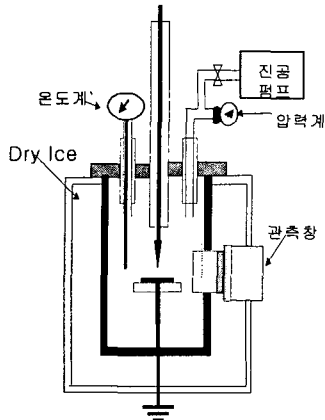


그림 1. 모의 GIS 챔버

본 연구에 사용한 전극은 스테인레스 스틸인구 전극(직경 41mm), 로고스키형 평판전극(직경 59mm)과 침전극(직경 5mm, 침단각도 20°,)을 이용하여 평등 전계(평판대평판), 준평등 전계(구대평판), 불평등 전계(침(上)대평판(下), 평판(上)대침(下))을 사용하였다.

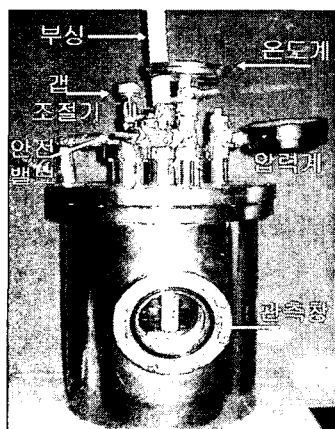


사진 1. 실제 제작한 모의 GIS 챔버

실험용 모의 GIS 챔버의 주요 사양은 압력 변화($2\sim6[\text{atm}]$)를 위해 안정상 10기압 정도의 가압이 가능하고 압력 유지를 위해 실험용 GIS 챔버 내의 기밀성 유지가 가능하다. 또한 온도변화($50\sim-50^\circ\text{C}$) 및 유지가 가능하고 높은 절연성을 가진 SF₆ 가스의 절연내력 사험을 위해 150[kV] 정도의 고압인가에 따른 절연설계가 되어있다.

냉각 설비는 열 절연을 위하여 그림 1에서와 같이 챔버 내·외부사이에 진공펌프를 이용하여 진공층을 두었으며, 드라이아이스를 이용하여 온

도를 조절하였다.

2.2. 실험방법

SF₆의 온도변화에 따른 절연파괴전압을 측정을 위하여 $30\sim-40^\circ\text{C}$ 의 온도 변화에 따른 각각 내부 압력($4\sim6[\text{atm}]$) 유지시 SF₆ 가스의 절연파괴 전압을 측정하였다. 또한 실험용 모의 GIS 챔버 내의 가스량의 변화 없이 일정 가스량 유지시 온도-압력 변화에 대한 SF₆ 가스의 절연파괴 전압을 측정하였다. 절연파괴 전압은 10회를 측정하여 평균값으로 그래프에 표시하였다.

전압의 측정은 전압을 서서히 상승 인가시 1번의 아크 방전이 발생될 때 전압값을 측정하였다. 부정현상을 없애기 위해 처음 10번 정도 방전시킨 후 절연파괴 전압값을 측정하였다. 고전압인가는 초당 1[kV] 속도로 인가하였다.

그리고 액체상태에서의 특성을 알아보기 위하여 챔버내의 전극을 LSF₆와 LN₂에 함침하여 챔버의 캡 조절기를 이용하여 1[mm]당 절연파괴전압을 12[mm]까지 측정하였다.

3. 실험결과 및 고찰

3.1 일정 가스량에 대한 온도-압력 절연파괴 특성

그림 2는 모의 GIS 장치내에 침대평판전극을 설치하여 $30[^\circ\text{C}]$ 에서 SF₆가스의 일정 가스량을 유지시 온도-압력에 대한 절연파괴 전압을 나타냈다. 또한 표 1에는 압력에 대한 온도변화를 보여주고 있다.

Section I은 각 압력에 대한 SF₆의 액화 진행전의 단계이며 이 경우에는 온도증가로 인한 압력증가에 의한 절연파괴전압이 약간 상승하는 경향을 나타냈다. Section II에서는 각 압력에 따른 SF₆의 액화가 진행됨에 따라 절연파괴 전압은 급격히 상승한다. 이러한 현상은 액화된 SF₆가 침전극을 타고 흘러내려감에 따라 액화 SF₆가 침을 도포하게 되어 위와 같은 높은 절연파괴 전압을 보여준다. 또한 액화 SF₆가 침에 도포정도에 따라 절연파괴전압의 차이가 심한 것을 볼 수 있었다. Section III에서는 SF₆의 액화가 더욱 더 진행될 경우 캡간의 압력이 급격히 떨어져 절연파괴전압도 급격히 하락한다. 이 경우에는 극간에 희박한 SF₆가스와 희박한 공기의 혼합체만 존재하기 때문에 절연파괴전압이 급격히 하락하게 된다.

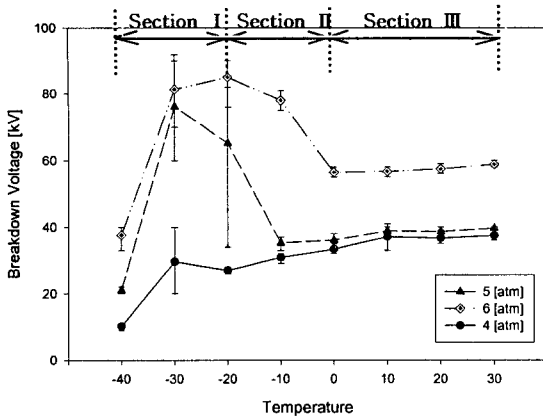


그림 2. 일정 가스량에 대한 온도-압력 절연파괴전압

표 1. 일정 가스량에 대한 온도-압력변화

온도	-40	-30	-20	-10	0	10	20	30
압력	1.5	3.0	3.6	4.1	4.8	5.4	5.6	6.0
	1.0	2.6	3.4	3.7	4.2	4.5	4.7	5.0
	0.3	1.5	2.3	3.0	3.2	3.5	3.7	4.0

위의 실험결과에서 보듯이 SF₆가 침전극을 포함한 경우 절연파괴전압이 급격히 상승함에 따라 액화 SF₆에서의 절연파괴 전압을 규명하기 위하여 전극형상에 따른 절연파괴전압을 좀 더 규명하고, 극저온 연구에 활용되고 있는 액화 질소와 비교하여 그 특성과 이용 가능성을 확인할 것이다.

3.2 LSF₆하에서 캡 변화시 절연파괴강도

3.2.1. 전극형상에 따른 절연파괴강도

그림 3는 LSF₆에서 전극 형상에 따른 절연파괴전압을 그래프로 도식하였다. 그림과 같이 전극형상에 대하여 전극변화에 따른 전압파괴전압 변화율은 상이했지만, 모든 전극에서 상승경향을 보여준다. LSF₆의 단간극(短間隙)하에서 전극형상에 따른 절연파괴전압을 나타내고 있다.

캡이 1[mm]에서는 모든 전극형상에 따른 절연파괴전압이 비슷한 양상을 보여 주었다. 캡이 증가함에 따라 침(上)대평판(下) 전극보다 평판

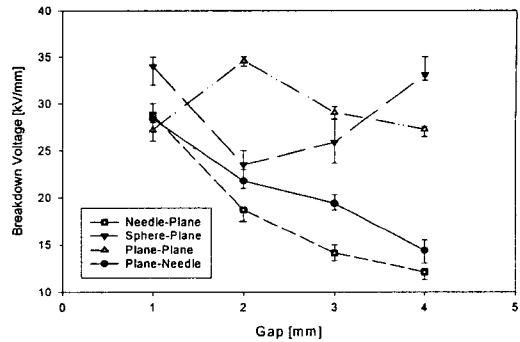


그림 3. LSF₆하에서 전극형상별 절연파괴강도

(上)대침(下) 전극의 파괴전압이 높게 측정되었다. 액화 SF₆하에서 보면 캡 변화시 평판대평판 전극보다 구대평판 전극의 절연파괴전압을 보면, 1[mm]에서는 전계가 절연파괴의 주된 요인으로 작용하여 평판(下)대평판(下)이 높게 나타난다. 캡이 2, 3[mm]에서는 평등전계인 평판대평판 전극과 준평등 전계인 구대평판전극에 있어서는 캡이 증가함에 따라 전극의 최단거리 및 그 근방에 Bubble이 많이 존재하는 평판대평판 전극이 절연파괴전압이 낮은 것으로 사려된다. 캡이 4[mm]에서는 거리가 증가함에 따라 로고스키형 평판전극을 사용하였지만 평판전극의 가장자리에서 전계의 불균형이 생김에 따라 구대평판전극이 평등전계에 더욱 가까워짐에 따라 절연파괴전압이 증가하게 된다.

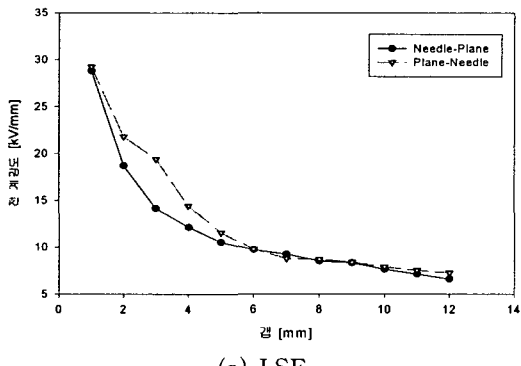
3.2.2. LSF₆와 LN₂의 버블효과 비교

극저온 액체중의 절연파괴 이론 중 Bubble 이론에 관하여 살펴보면 챔버 내·외부에서의 분위기에 따라 Bubble이 생성된다.

이러한 Bubble들은 전극의 최단거리 혹은 그 최단거리에 가깝게 많이 정체(정체기포)하게 되면 될 수록 Bubble에 의한 Corona가 왕성하게 발생하게 되어 결국 상대적으로 낮은 전압에서 절연파괴로 이어지게 된다. 또한 정체기포로 Floating Force와 Gradient Force의 합력에 의하여 전극사이의 어느 위치에 정체하게 되므로 대기압하의 액체질소 중에는 정체기포가 전극최단거리에 정체할 확률이 큰 평판대평판 전극(수직 배치)의 절연 파괴전압이 침대평판 전극(침전극 상부, 평판전극 하부)의 절연파괴 전압보다 낮게 된다.

본 연구에서 실험한 LSF₆와 LN₂에서 자연기

포가 발생되고 이러한 기포는 코로나 발생에 따라 더욱 증식하게 된다. 그림 4는 LSF_6 와 LN_2 의 침(上)대평판(下)과 평판대평판 전극의 절연파괴특성을 나타내고 있다. 일반적으로 평등전계인 평판대평판 전극의 절연파괴전압이 불평등전계인 침대평판 전극보다 높게 나타난다. 하지만 LSF_6 에서 갭 거리가 1[mm]일 때와 LN_2 에서는 불평등전계인 침(上)대평판(下) 전극의 파괴전압이 높게 나타나는 양상을 보여 주고 있다.



(a) LSF_6

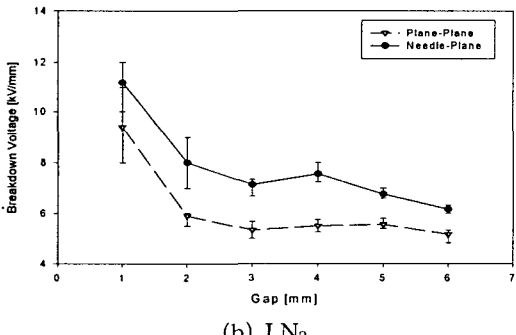


그림 4 침(上)대평판(下)과 평판(上)대평판(下) 전극 절연파괴특성 비교

그림 4 (a)는 LSF_6 에서 절연파괴특성을 보여 주고 있다. LSF_6 에서 발생된 SF_6 기체 기포는 코로나 발생에 따라 더욱 증식하게 된다. 그 결과로 평판 대 평판전극이 침(上)대 평판(下)전극보다 절연파괴 전압이 낮아지는 결과를 확인할 수 있지만, 갭이 1[mm]일 때 평판 대 평판의 절연파괴전압이 낮고 2[mm]이상일 때 침 대 평판보다 더 높은 절연파괴전압이 측정되었다. LSF_6 하에서 생성되는 SF_6 기포는 공기보다 절연 내력이 3배이고, 공기의 100배 정도의 아크 소호능

력을 가지고 있어 기체질소 보다 월등한 절연내력을 가지고 있다. SF_6 기포는 LSF_6 에서 일정 갭 이상시 절연내력이 기포에 의해 감소되는 현상 보여준다.

4. 결 론

- (1) LSF_6 와 LN_2 에서 전극형상에 따른 절연파괴전압도 Bubble 효과가 적용된다.
- (2) LSF_6 평판대침 전극에서 절연파괴전압은 bubble효과가 주가 되는 영역과 전계효과가 관건이 되는 영역이 존재한다.
- (3) 침(上)대평판(下), 평판(上)대침(下) 전극에서는 전극배치에 따라 기포의 정체, 후류 등에 의해 절연파괴 전압이 달라진다.
- (4) 극저온 하에서 발생하는 자연기포에 의한 절연파괴전압 특성은 기포 가스의 기본적 물성에 따라 변화함을 확인하였다.
- (5) LSF_6 와 LN_2 에서 LSF_6 의 절연내력이 월등하다는 것을 실험을 통해 확인하였으며, 이를 통해 고온초전도체 개발에 따른 극저온 및 절연재료로서 LSF_6 가 사용 가능함을 확인하였다.

참 고 문 헌

- [1] Landry, M. et al. " Dielectric withstand and breaking capacity of SF_6 circuit breakers at low temperatures " Power Delivery, IEEE Transactions on, pp. 1029~1035, July 1988
- [2] Gong Guoli et al, " The influence of SF_6 and SF_6/N_2 dissociating products on the electrical performance of several insulating varnishes ", Electrical Insulating Materials, pp. 495~497, 1995
- [3] T.Ueda et al, " Discrimination of Partial Discharge Electromagnetic Signal in SF_6 Gas from External Noise Using Phase Gate Control Method ", IEEE International Symposium on Electrical Insulation, pp. 117~120, 1996
- [4] 이광식 외 3명, " 대기압하에서 액체질소(LN_2)의 방전특성에 관한 연구 ", 대한전기학회 논문지 Vol 45 No 7, 1996.7.
- [5] C.Beyer et al. " Influence Reactive SF_6 Gases on Electrode Surfaces after Electrical Discharge under SF_6 Atmosphere", IEEE Trans, pp. 234~240, 2000
- [6] 주재현, " 액체질소증의 방전형상과 방사전자파의 특성에 관한 연구 ", 영남대학교 대학원 1997.8.
- [7] 이광식, " 액체질소 및 극저온 개스의 방전특성에 관한 연구 ", 한국전력공사, 1993.8.
- [8] 박경태, " 온도변화에 따른 SF_6 의 방전 및 방사전자파 특성 ", 영남대학교 대학원, 2002.12.
- [9] 이광식 외 4명, " SF_6 가스의 온도변화에 따른 절연 특성 "대한전기학회 논문지 Vol 52C No 8, 2003.8
- [10] Frank M. White, " Fluid Mechanics ", McGraw-Hill, 1995.8.